

DOI:10.11918/201908144

供水管网计算分区方法的比较分析

李化雨,吴 珊,侯本伟,程玉林

(北京工业大学 建筑工程学院,北京 100124)

摘要:针对现有的供水管网计算分区方法研究多基于单个管网案例进行验证,缺乏不同案例、不同需求下的比较和适用性分析的问题,基于深度优先搜索-部分接近度算法(DFS-PCC)、快速迭代模块度的贪心算法(CNM)和遗传优化的谱聚类算法(GA-SC)3种方法,采用标准化互信息(NMI)、模块度、节点数均衡性、联络管数量等分区结果评价指标,在5个标准管网案例上比较其分区效果。比较分析时考虑了不同管网案例的拓扑结构、水源数量和类型、控制元件等固有属性差异,并讨论方法的赋权和分区数的确定问题。结果表明:DFS-PCC对区域供水特征明显、树状特性较高的案例分区,所得结果模块度较高,但联络管数量较多;CNM对区域供水特征明显、树状特性较高的案例分区,所得结果NMI较高,联络管数量较少;GA-SC在5个不同案例中,模块度较高、区域间节点数较均衡、联络管数量较少,总体适用性良好;使用该方法 $1/q$ 的赋权形式,可有效选择流量和流量波动性大的管道作为联络管。

关键词:供水管网;计算分区;复杂网络;模块度;谱聚类

中图分类号: TU991

文献标志码: A

文章编号: 0367-6234(2021)05-0048-11

Comparative analysis of calculation methods for water distribution system partitioning

LI Huayu, WU Shan, HOU Benwei, CHENG Yulin

(College of Architecture and Civil Engineering, Beijing University of Technology, Beijing 100124, China)

Abstract: The existing research on the calculating methods for WDS partitioning is mainly based on single network cases, while it lacks comparison and applicability analysis for different network cases and various requirements. This paper compares the partitioning effects of depth-first search combined with partial closeness centrality algorithm (DFS-PCC), fast iterative modularity greedy algorithm (CNM), and spectral clustering optimized by genetics algorithm (GA-SC) in five benchmark cases. The comparative analysis was achieved by developing evaluation indicators such as normalized mutual information (NMI), modularity, the balance of nodes quantity, and the number of feed lines. The influences of network intrinsic properties including topology structures of the cases, the number and types of water sources, and control elements were considered. In addition, the selection of weights and the determination of partition numbers were studied. Results show that for the cases with obvious regional water supply and high tree-like characteristics, DFS-PCC had high modularity and a large number of feed lines, while CNM had high NMI and a few feed lines. In the five cases, GA-SC had high modularity, a balanced number of nodes, and a few feed lines, indicating better applicability. By utilizing the weights of $1/q$, the pipes with large flow and flow fluctuation could be effectively selected as feed lines.

Keywords: water distribution system (WDS); calculation of partitioning; complex networks; modularity; spectral clustering

随着城市规模的扩张,供水管网规模渐增,结构无序性加剧,易带来运行调度不便、漏损率过高等问题。供水管网分区管理是应对这些问题的有效手段^[1]。管网的分区方法可分为人工经验方法和计算分区方法^[2]。人工经验方法主要依据自然地理边界或人为屏障作为区域边界,结合人的主观经验进行

分区。计算分区方法多基于图论和复杂网络理论创建。人工经验方法适应于在建设前即有分区考虑的新建管网或边界明确的现状管网,但是对于复杂现状管网,分区方案难于制定。而计算分区方法可以有效保障分区的科学性和便捷性,对于复杂现状管网实现区块化的新型管理模式具有重要意义。

计算分区方法中,以深度优先搜索或广度优先搜索为基础,寻找管网系统中的强连接结构,并据此分区的算法^[3-4]出现较早且有持续性应用;以模块度增加为评判标准,衡量区域内部连接紧密性的社

收稿日期: 2019-08-28

基金项目: 国家水体污染控制与治理科技重大专项(2017ZX07108-002);国家自然科学基金(51978023)

作者简介: 李化雨(1994—),女,硕士研究生

通信作者: 侯本伟,benweihou@bjut.edu.cn

区发现算法^[5-6]是较为经典的方法; 利用特征值和特征向量挖掘管网系统特征的谱聚类算法^[7-8]是近年来的研究热点。此外, 还有以能量损失最小化为核心的最短路径算法^[9]、以平衡各分区信息为核心的图划分算法^[10]等。然而这些方法缺乏系统性的比较, 分区实践时难以选择合适的方法。现有少数比较研究^[11-12]忽略了不同管网之间固有特征的差异, 仅就1~2个特定案例对特定指标简单分析。而不同管网案例受拓扑结构、运行状态、模型质量等多重因素的影响差异很大, 在特定案例上得出的研究结论参考价值有限。另外, 选取的不同赋权形式和分区数也会对结果造成影响, 分区过程中应对这两个问题予以考虑。

深度优先搜索-部分接近度算法(DFS-PCC)、快速迭代模块度的贪心算法(CNM)和遗传优化的谱聚类算法(GA-SC)分别是上述前3类算法中的一种代表性算法。本文对此3种方法在5个标准管网案例上的分区效果进行了比较, 并分析了算法赋权对分区结果的影响, 讨论了不同方法确定分区数的差异。对比方法性能时, 考虑了管网案例的固有属性差异。

1 计算分区方法

1.1 深度优先搜索-部分接近度算法

深度优先搜索-部分接近度算法先使用深度优先搜索发现网络系统中存在的若干极大强连通子图, 再将极大强连通子图外的所有节点按照部分接近度最小原则, 并入相应的子图。对应于实际管网, 极大强连通子图是指在一段时间内存在环流现象的最大管网结构。确定出强连通分区后, 使用部分接近度函数判断剩余节点到每个区域的能量损失, 将剩余节点分入最合适的区域中。其具体步骤为^[13]:

1) 连续模拟一段时间, 将模拟结果以有向图形式表示。使用 Tarjan 搜索算法^[14]访问所有节点, 得到各极大强连通子图。在其中选择确定 K 个极大强连通子图, 作为强连通分区。

2) 以水头差 ΔH_{ij} 表示供水高峰时刻从管段起点 i 到管段终点 j 的能量损失, 建立以 ΔH_{ij} 为权重的管网邻接矩阵, 使用 Dijkstra 算法^[15]求解得到从任意节点 i 到另一节点 j 的最小能量损失。

3) 计算节点 i 至区域 T_r 的部分接近度

$$P = \frac{J_r}{\sum_{j \in T_r} |\Delta H_{ij}|}, i \notin T_r. \quad (1)$$

式中: T_r 为第 r 个区域, $r = 1, 2, \dots, K$; J_r 为区域 T_r 中的节点数。若部分接近度越大, 节点 i 与该区域特征

越接近。

4) 对于不属于任何强连通分区的各个节点, 计算其与 K 个区域 T_r 的部分接近度, 将各个节点划入与其部分接近度最高的区域中, 直至所有节点都被划分完毕为止。

1.2 快速迭代模块度的贪心算法

模块度 M 是用来衡量网络社区结构划分质量的函数, 其定义为网络中连接社区结构内部节点的边所占比例与随机网络中连接社区结构内部节点的边所占比例的期望值之差^[16-17]。社区定义为连接紧密的边和节点构成的子图, 社区外部的边应比社区内部连接得更加稀疏^[18]。社区划分质量越高, 社区内部连接越紧密, 模块度越大。其计算公式可表示为

$$M = \frac{1}{2m} \sum_{vw} \left[A_{vw} - \frac{k_v k_w}{2m} \right] \delta(C_v, C_w). \quad (2)$$

式中: A 为网络的邻接矩阵, v 和 w 为节点, m 为网络的边数, k_v 为节点 v 的度, C_v 为节点 v 所在的社区。若节点 v 和节点 w 在同一社区, 则 $C_v = C_w$, $\delta = 1$, 否则 $\delta = 0$ 。

$$A_{vw} = \begin{cases} 1, & \text{节点 } v \text{ 和节点 } w \text{ 相连;} \\ 0, & \text{其他.} \end{cases} \quad (3)$$

基于贪心算法的思想, 从每个节点为一个社区开始, 沿着使模块度增加最大或减少最小的方向不断合并节点, 直至获得期望的社区划分结果。其具体步骤为^[5]:

1) 初始化。每个节点为一个社区, 初始模块度 $M = 0$ 。计算辅助矩阵 e 和辅助向量 a :

$$e_{ij} = \begin{cases} 1/2m, & \text{节点 } i \text{ 和节点 } j \text{ 相连;} \\ 0, & \text{其他.} \end{cases} \quad (4)$$

$$a_i = k_i / 2m. \quad (5)$$

式中: e_{ij} 表示节点 i 与节点 j 连接的度与网络的度的比值, a_i 表示节点 i 的度与网络的度的比值。

这样, 初始的模块度增量矩阵 ΔM 的元素构成为

$$\Delta M_{ij} = \begin{cases} 1/2m - k_i k_j / (2m)^2, & \text{节点 } i \text{ 和节点 } j \text{ 相连;} \\ 0, & \text{其他.} \end{cases} \quad (6)$$

2) 建立最大值堆 H , 储存模块度增量矩阵 ΔM 中每一行的最大元素。选择其中最大的 ΔM_{ij} , 合并相应社区 i 和 j , 合并后社区标号记为 j 。依次更新模块度增量矩阵 ΔM 、最大值堆 H 和辅助向量 a 。

更新 ΔM 时, 删除第 i 行和第 i 列, 更新第 j 行和第 j 列的元素

$$\Delta M'_{jk} = \begin{cases} \Delta M_{ik} + \Delta M_{jk}, & \text{社区 } k \text{ 与社区 } i \text{ 和 } j \text{ 都相连;} \\ \Delta M_{ik} - 2a_i a_k, & \text{社区 } k \text{ 仅与社区 } i \text{ 相连;} \\ \Delta M_{jk} - 2a_i a_k, & \text{社区 } k \text{ 仅与社区 } j \text{ 相连.} \end{cases} \quad (7)$$

更新 a 时,令

$$a'_j = a_i + a_j, \quad (8)$$

$$a'_i = 0. \quad (9)$$

3) 重复步骤 2), 直至得到预期的分区数 K .

1.3 遗传优化的谱聚类算法

谱聚类算法将原始数据集映射到由 K 个正交向量组成的 K 维空间 \mathbf{R} , 以此空间近似表示原始数据的内在特征, 继而使用 K -means 算法进行聚类. 由于 K -means 算法对初始聚类中心敏感, 随机产生的不同初始聚类中心会得到不同的聚类结果. 为提高方法的全局搜索能力, 每次循环过程中使用遗传算法优化聚类中心, 以得到更稳定的分区结果. 此方法的具体步骤为^[7,19]:

1) 计算管网的拉普拉斯(Laplacian)矩阵. 非规范化拉普拉斯矩阵为

$$\mathbf{L} = \mathbf{D} - \mathbf{A}. \quad (10)$$

式中: \mathbf{A} 为管网的邻接矩阵, \mathbf{D} 为对角矩阵, 对角线上的值为节点的度

$$D_{ii} = \sum_{j=1}^n A_{ij}. \quad (11)$$

规范化拉普拉斯矩阵为

$$\mathbf{L}_{\text{sym}} = \mathbf{D}^{-\frac{1}{2}} \mathbf{L} \mathbf{D}^{-\frac{1}{2}}. \quad (12)$$

2) 计算 \mathbf{L}_{sym} 的特征值. 确定分区数 K 后, 选择 K 个最小特征值对应的特征向量 $\mathbf{x}_1, \mathbf{x}_2, \dots, \mathbf{x}_K$, 构造矩阵 $\mathbf{X} = [\mathbf{x}_1, \mathbf{x}_2, \dots, \mathbf{x}_K] \in \mathbf{R}^{n \times K}$. 将矩阵 \mathbf{X} 的行向量变为单位向量, 得到矩阵 \mathbf{Y} , 将矩阵 \mathbf{Y} 的每一行作为 \mathbf{R}^K 空间中的一点 \mathbf{y} .

$$Y_{ij} = \frac{X_{ij}}{\sqrt{\sum_j X_{ij}^2}}. \quad (13)$$

3) 使用遗传优化的 K -means 算法聚类. 随机选取 K 个聚类中心, 使用 K -means 算法将每个空间点分配到与其最近的聚类中心对应的聚类. 每次聚类后, 使用遗传算法校正聚类中心, 再次进行聚类. 校正时, 定义所有空间点到其各自所属聚类的聚类中心的欧式距离平方和为距离平方和 D_s , 以 D_s 最小化为目标函数度量每次迭代的聚类质量, 并通过线性排序确定适应度.

$$D_s = \sum_{i=1}^K \sum_{y \in C_i} d(\mathbf{y}, \mathbf{c}_i)^2. \quad (14)$$

式中: C_i 为第 i 个聚类, \mathbf{c}_i 为其聚类中心, \mathbf{y} 为某个空间点, K 为聚类总数, d 表示 \mathbf{y} 到 \mathbf{c}_i 的欧式距离.

2 评价指标

2.1 分区结果的评价指标

影响管网分区的首要因素是分区目的, 除此之

外, 主要影响因素还有管网属性、分区方法、赋权形式和分区数量. 根据分区目的和具体需求选用评价指标对分区结果进行评判, 可以从特定角度量化分区结果的优劣, 继而指导分区方法的选择. 选取归一化互信息、模块度、节点数均衡性、联络管数量、联络管流量和联络管流量波动性 6 项指标.

1) 归一化互信息^[20] (normalized mutual information, NMI). NMI 指标可表征计算分区结果与已有的经验(或基准)分区结果的一致性, 进而评价计算分区结果的合理性. 若已知经验法的分区结果, 可进行带基准的分区评价; NMI 越接近 1, 计算分区与经验分区结果越接近, 则计算分区结果较合理. 其计算公式为

$$NMI(\mathbf{V}, \mathbf{W}) = \frac{-2 \sum_{i=1}^{C_V} \sum_{j=1}^{C_W} N_{ij} \log\left(\frac{N_{ij} N_t}{N_i N_j}\right)}{\sum_{i=1}^{C_V} N_i \log\left(\frac{N_i}{N_t}\right) + \sum_{j=1}^{C_W} N_j \log\left(\frac{N_j}{N_t}\right)}. \quad (15)$$

式中: \mathbf{V} 为经验分区结果, \mathbf{W} 为计算分区结果, C_V 和 C_W 分别为两结果的社区数; N 为混乱矩阵, N_{ij} 为既在 \mathbf{V} 的社区 i 中出现又在 \mathbf{W} 的社区 j 中出现的节点数, N_i 和 N_j 分别为第 i 行和第 j 列之和; N_t 为节点总数.

2) 模块度 M . 一般情况下, 管网的经验分区结果未知. 此时可从图论和复杂网络理论角度, 遵循管网拓扑结构特征, 进行不带基准的分区评价. 使用模块度(式(2))评价社区的优劣, 模块度越接近 1, 社区结构越明显, 分区效果越好.

3) 节点数均衡性 B . 从分区管理角度, 各区域间节点数量应较为接近, 区域规模不应相差过大. 使用节点数均衡性可以反应各区域间规模的差异. 节点数均衡性用各个分区间节点数的标准差表示, 标准差越小, 均衡性越高, 管理成本越小. 其计算公式为

$$B = \sqrt{\frac{1}{C_n} \sum_{i=1}^{C_n} (n_i - \bar{n})^2}. \quad (16)$$

式中: C_n 为分区数, n_i 为第 i 个区域的节点数, \bar{n} 为各区域平均节点数.

4) 联络管数量、流量、流量波动性. 联络管数量是指连接各分区间管道数量. 联络管所在位置需安装流量计或阀门, 因而联络管数量可以间接反映分区改造所需的投资. 从投资成本角度, 联络管数量应相对较少.

联络管流量可以反映分区间水量交换. 选择高峰时刻的流量进行分析, 若联络管的流量较大, 加装流量计可监测到的水量较大, 测量误差对测量结果的影响较小. 若联络管的流量较小, 则此管道不是

供水主力路径, 条件适宜时可在此处设置阀门形成物理分割.

联络管流量波动性可以反应一段时间内联络管流量的波动. 基于管网延时水力模型, 一段时间内联络管流量的标准差可表征联络管流量波动性. 从监测和调控区域水量角度, 流量计应安装在联络管流量和流量波动性均较大的管道上, 以得到较好的监测效果.

2.2 管网属性的表征指标

不同管网案例的固有属性可能相差很大. 为量化这些差异, 除使用节点数、管道数等指标表征管网基础信息外, 还可使用复杂网络理论中的指标评价管网的固有属性. 选取平均度、聚类系数、环状系数、标准结构熵4项指标.

1) 平均度 $\langle k \rangle^{[18]}$ 可以反应管网的连接特性. 其计算公式为

$$\langle k \rangle = \frac{2m}{n}. \quad (17)$$

式中: m 为网络中的边数, n 为网络中的节点数. 平均度越高, 各节点连接的边数越多, 管网连接越复杂.

2) 聚类系数 $C_c^{[18]}$ 可以反应管网的聚类特性. 某一节点 i 的聚类系数定义为与该点相连的三角形数量和三元组数量之比. 其中, 三角形是指网络中存在的3个节点由3条边两两相连的结构, 如图1(a)所示; 三元组是指网络中存在的3个节点中, 节点 i 至少与其两个邻居节点相连的结构, 如图1(b)所示. 图中虚线表示此边有、无均可, 即三角形是三元组的一种特殊形式. 全网的聚类系数为所有节点聚类系数的均值. 其计算公式为

$$C_c = \frac{1}{n} \sum_{i=1}^n \frac{E_i}{C_{b_i}^2}. \quad (18)$$

式中: E_i 为节点 i 的 b_i 个邻居节点间实际存在的边数, $C_{b_i}^2$ 为节点 i 的 b_i 个邻居节点间可存在的最大连接边数. 聚类系数在0~1取值. 聚类系数越高, 管网中呈强三角形连接结构越明显.

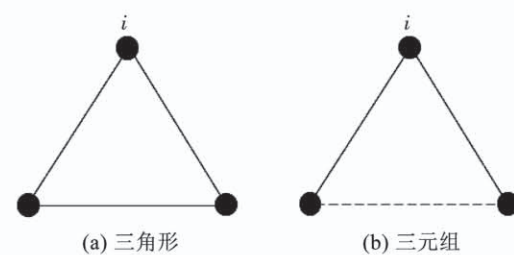


图1 三角形和三元组

Fig. 1 Triangles and triples

3) 环状系数 $R_m^{[21]}$ 可以反应管网的成环特性. 环状系数定义为管网中独立环网数与可能存在的最大独立环网数之比. 其计算公式为

$$R_m = \frac{m - n + 1}{2n - 5}. \quad (19)$$

环状系数越高, 管网冗余度越高, 成环特性越明显.

4) 标准结构熵 $\bar{E}^{[22]}$ 可以反应管网“序”的状态. 其计算公式为

$$\bar{E} = \frac{-2 \sum_{i=1}^n I_i \ln I_i - \ln[4(n-1)]}{2 \ln n - \ln[4(n-1)]}, \quad (20)$$

$$I_i = \frac{k_i}{\sum_{i=1}^n k_i}. \quad (21)$$

式中 I_i 为第 i 个节点的重要度. 标准结构熵在0~1取值. 标准结构熵越大, 则各节点的重要度越均衡, 网络越呈现无序状态. 反之, 网络中存在核心节点越少, 末梢节点越多, 网络越呈现有序状态.

3 结果与分析

3.1 管网案例分析

选取5个典型管网案例对第1节所述的3种计算方法进行比较, 各管网案例的信息如表1及图2所示. 其中, 使用元件基本信息反应案例规模和管网中的控制因素; 使用第2.2节提出的管网属性表征指标量化案例的拓扑差异.

表1 管网案例基本信息

Tab. 1 Basic information of water network cases

管网案例	节点数	管道数	水库数	水池数	水泵数	阀门数	平均管径/mm	总管长/km	平均度 $\langle k \rangle$	聚类系数 C_c	环状系数 R_m	标准结构熵
Richmond	865	949	1	6	7	1	182.2	75.619	2.195	0.031	0.049	0.974
C Town	388	429	1	7	11	4	344.8	56.733	2.242	0.020	0.062	0.971
Rural	379	476	2	0	0	0	519.3	1 288.420	2.499	0.008	0.127	0.965
Exnet	1 891	2 465	2	0	0	2	193.6	593.881	2.606	0.040	0.152	0.970
BWSN	126	168	1	2	2	8	502.0	37.565	2.760	0.059	0.198	0.976

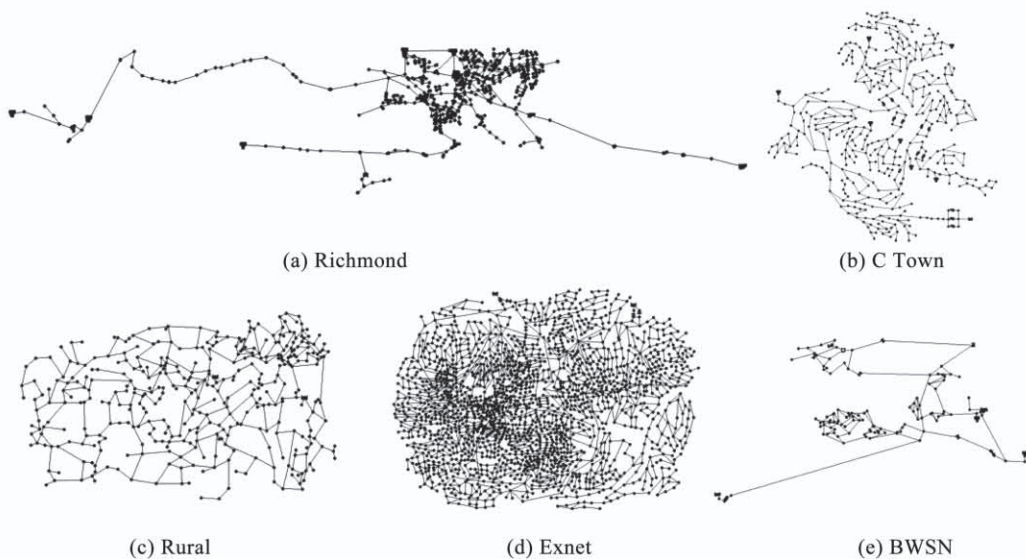


图 2 管网案例图示

Fig. 2 Illustration of water network cases

由表 1 可知,5 个管网案例的平均度和环状系数大小排序一致,自低到高依次为 Richmond、C Town、Rural、Exnet、BWSN。聚类系数仅能评价管网中三角形连接的数量,得到的结果有所局限,聚类特性可由环状系数间接表示。标准结构熵均在 $0.965 \sim 0.976$,各管网相差很小,网络的无序程度均较高。因而,主要采用平均度和环状系数表征管网固有属性。

Richmond^[23]是英国约克郡的某真实案例。其 $\langle k \rangle = 2.195, R_m = 0.049$,树状特性最高,树状分支多分布在管网外围,管网中心仍有部分环状管网;水池和控制元件较多,呈现一定的供水周期性;但 3 个水池分布在树状管网远端由外向内供水,3 个水池处于管网中心,区域特性不明显。

C Town^[24]是管网校核竞赛(The Battle of Water Calibration Networks)提供的研究案例。其 $\langle k \rangle = 2.242, R_m = 0.062$,树状特性较高;水池较多且分布均匀,供水区域特性且周期性较强;控制元件较多,最终可能形成不同水源供给不同区域的分区结构。

Rural^[25]是某真实案例,年平均供水量 $4546.090 \text{ m}^3/\text{d}$ 。其 $\langle k \rangle = 2.499, R_m = 0.127$,环状特性较高,全网连接紧密;没有控制元件调控管网运行,供水区域特性和周期性不强,分区边界不易确定。

Exnet^[26]是由英国 Exeter 大学提供的研究案例,服务人口 40 万人。其 $\langle k \rangle = 2.606, R_m = 0.152$,环状特性较高;管网规模较大,且有 5 个节点接收来

自相邻系统的输水,但控制元件较少,调节能力不足;与 Rural 案例相似,供水区域特性和周期性不强。

BWSN^[27]是管网传感器布设竞赛(The Battle of Water Sensor Networks)提供的研究案例。其 $\langle k \rangle = 2.760, R_m = 0.198$,虽环状特性最高,但输配水管较分明,两个水池能够带来一些管道周期性的流向变化;有较多控制元件调控管网运行,可为分区提供帮助。

3.2 不同分区方法的比较

分别使用第 1 节的 3 种方法对各案例分区。BWSN 案例节点数较少,设定分区数为 3,其他案例设定分区数为 5。选取 0 ~ 12 点和 0 ~ 24 点两水力模拟时段分别计算分区结果,所得结果无差异,为减小计算量,后续采用 0 ~ 12 点进行计算。由 3.1 节可知,C Town 案例管网树状特性较高,供水区域特性且周期性较强,有较多元件调控管网运行;与 C Town 不同,Rural 案例管网环状特性较高,供水区域特性和周期性不强,管网中没有控制元件。并且,C Town 和 Rural 两案例节点规模近似,C Town 经验法分区结果^[24]已知,故选取这两个固有属性差异较大的案例具体分析,并使用其他案例补充说明。C Town 和 Rural 案例的分区结果见图 3,图中不同区域用序号① ~ ⑤ 表示。使用 NMI 评价不同分区结果在两案例中的一致性,所得数据统计于表 2。各案例评价指标如表 3 第 3,4,7 列所示(CNM、GA-SC 使用无权形式)。

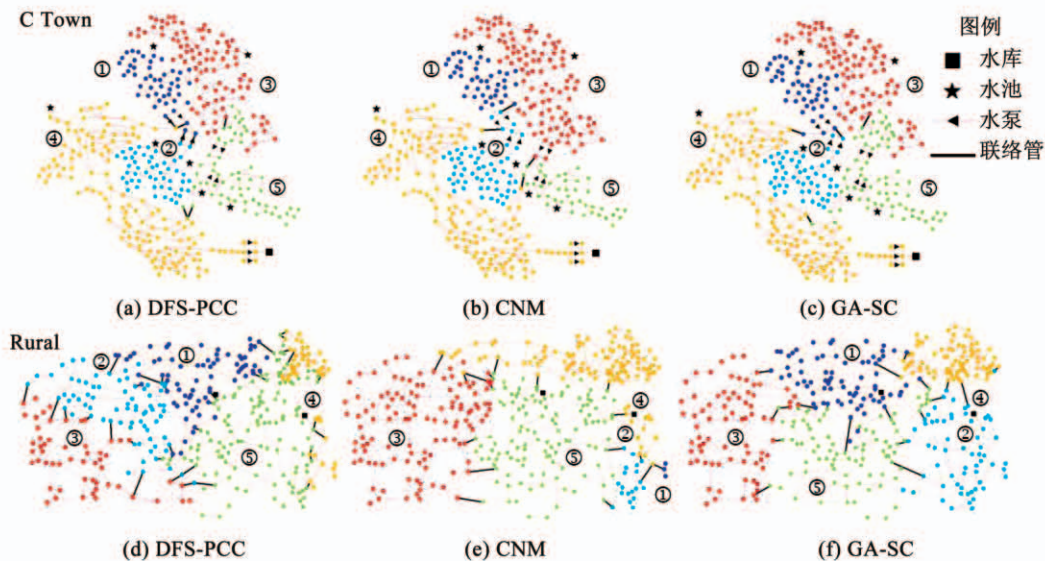


图3 C Town 和 Rural 分区结果

Fig.3 Partition results of C Town and Rural

表2 不同方法所得结果的一致性

Tab.2 Consistency of results obtained by different methods

管网案例	NMI (与不同计算方法比)	CNM	GA-SC
	DFS-PCC	0.872	0.929
C Town	CNM	—	0.857
	GA-SC	0.881	—
Rural	DFS-PCC	0.458	0.436
	CNM	—	0.506

3.2.1 NMI 和模块度

由图3(a)~(c)可知,使用3种方法对C Town分区得到的结果接近。以经验分区结果^[24]为基准,DFS-PCC、CNM、GA-SC分区结果与经验分区结果的NMI分别为0.890,0.932,0.881,说明3种计算结果均与经验法结果有较高的吻合度,CNM计算结果与经验法最接近。由表2可知,以3种计算结果互为基准,DFS-PCC与CNM的NMI为0.872,DFS-PCC与GA-SC的NMI为0.929,CNM与GA-SC的NMI为0.857,说明3种分区结果较为相似。同时,计算上述3种结果的模块度,具体数值依次为0.746,0.738,0.758,各方法连接紧密程度基本一致。由此可知,在树状特性较高且区域性供水特征明显的C Town管网中,3种方法均能得到良好结果。

由图3(d)~(f)可知,使用3种方法对Rural分区得到的结果有显著差别。由于Rural经验分区结果未知,仅比较3种结果互为基准得到的NMI值。由表2可知,DFS-PCC与CNM的NMI为0.458,DFS-PCC与GA-SC的NMI为0.436,CNM与GA-SC的NMI为0.506,3种结果均差异较大。由表3可知,此案例中DFS-PCC、CNM、GA-SC 3种方法所得

结果的模块度分别为0.692,0.663,0.750,GA-SC计算结果的模块度最高。由此可知,在环状特性较高且无明显区域性供水特征的管网中,不同方法分区结果差异较大,GA-SC区域内部连接更紧密。

3.2.2 节点均衡性

如表3所示,C Town案例中DFS-PCC、CNM、GA-SC 3种方法所得结果的节点数均衡性依次为33.701,39.408,31.186,Rural案例中依次为27.476,53.484,7.250。固有属性不同的两案例中,均是GA-SC结果中节点数更均衡,且其他3个案例也存在此现象。这是由于GA-SC采用的多路规范化割集准则(multiway normalized cut)能够有效规避倾斜问题^[28],同时考虑区域间和区域内的连接特性,从而使各区域的节点数更加均衡。

由图3(e)可知,Rural案例中,CNM计算结果的第1区域仅用一条联络管就能将其与其他区域分开,区域间连接稀疏,对于减少联络管数量效果很好。但此区域只有3个节点,与节点数较多的第3、第5区域规模相差过大,各区域节点数非常不均衡。并且,第1区域的3个节点内部连接并不十分紧密,一定程度上影响了其模块度值。在C Town案例中所得结果与经验法最接近的CNM方法应用在Rural案例中效果不佳。由此可知,在某一特定案例应用较好的分区方法不一定能够很好地适用于其他案例。但就表3各案例分析结果可知,GA-SC普遍适用性较好。

3.2.3 联络管数量

如表3所示,C Town案例中DFS-PCC、CNM、GA-SC 3种方法所得结果的联络管数量依次为7,4,4,Rural案例中联络管数量依次为38,17,22。固有

属性不同的两案例中,DFS-PCC 分区结果的联络管数量均高于另两种方法,其他 3 个案例也存在此现象。这是由于 CNM 和 GA-SC 仅考虑管网的拓扑结构,而 DFS-PCC 除考虑拓扑连通性外,还考虑了能量的变化。这会使 DFS-PCC 更可能将联络管位置选择在水泵、阀门等控制元件所在的管道上,但同时也会导致联络管数量的增加。C Town 案例中,如图 3(a)所示的 7 个联络管中有 3 个为水泵所在管道,1 个为将状态置于关闭的管道。而 Rural 案例中没有控制元件和水池,DFS-PCC 的特点未能明显表

征。且 Rural 案例拓扑结构复杂,DFS-PCC 结果的联络管数更多。

3.2.4 联络管流量与流量波动性

联络管流量和联络管流量波动性与具体管网案例有关。如表 3 中 5 个案例所示,通常情况下 DFS-PCC 分区结果的上述两项指标较 CNM 和 GA-SC 更小。这是因为管网中多数管道流量及流量波动性均较小,而 DFS-PCC 挑选出的联络管数量较多,挑选出的联络管更可能符合多数管道的特征。

表 3 评价指标比较

Tab. 3 Comparison of evaluation indicators

管网案例	评价指标	DFS-PCC	CNM			GA-SC		
			无权	1/q 权	q 权	无权	1/q 权	q 权
1	2	3	4	5	6	7	8	9
Richmond 5 个区	模块度	0.574	0.742	0.572	0.102	0.757	0.752	0.698
	节点数均衡性	176.723	91.303	182.105	322.362	70.001	76.510	115.030
	联络管数量	12	4	10	7	4	4	9
	联络管流量/(L·s ⁻¹)	1.919	26.703	2.076	48.916	14.693	27.708	6.772
	联络管流量波动性	0.018	0.087	0.043	0.021	0.044	0.0256	0.022
C Town 5 个区	模块度	0.746	0.738	0.619	0.655	0.758	0.775	0.747
	节点数均衡性	33.701	39.408	68.910	62.021	31.186	22.076	30.143
	联络管数量	7	4	9	9	4	4	9
	联络管流量/(L·s ⁻¹)	32.200	57.560	9.120	55.009	56.993	91.908	32.612
	联络管流量波动性	3.261	7.782	1.651	2.400	7.525	6.480	2.421
Rural 5 个区	模块度	0.692	0.663	0.641	0.520	0.750	0.732	0.728
	节点数均衡性	27.476	53.484	51.851	80.928	7.250	24.645	19.753
	联络管数量	38	17	34	27	22	20	26
	联络管流量/(L·s ⁻¹)	1.886	2.642	1.597	2.731	1.670	3.291	1.171
	联络管流量波动性	0.242	0.479	0.279	0.363	0.413	0.612	0.280
Exnet 5 个区	模块度	0.668	0.696	0.643	0.748	0.740	0.636	0.740
	节点数均衡性	254.642	251.965	312.505	119.993	171.706	322.108	146.314
	联络管数量	82	29	39	55	20	16	50
	联络管流量/(L·s ⁻¹)	24.306	109.445	68.009	62.429	108.721	260.719	35.417
	联络管流量波动性	0.555	3.889	2.123	1.621	4.5319	12.902	1.087
BWSN 3 个区	模块度	0.467	0.462	0.351	0.584	0.592	0.536	0.493
	节点数均衡性	27.435	30.692	39.421	5.716	10.801	23.424	24.097
	联络管数量	6	4	3	8	4	4	6
	联络管流量/(L·s ⁻¹)	3.877	14.344	6.973	13.501	7.251	23.823	3.815
	联络管流量波动性	19.460	163.049	126.883	33.198	22.862	113.834	15.912

3.3 不同赋权形式的比较

第 1 节所述 3 种方法中,CNM 和 GA-SC 基于复杂网络理论创建,其赋权形式可分为无权和有权两种;而 DFS-PCC 是基于图论相关理论创建,该方法

中没有对于权重的考虑,但考虑了能量变化,故也相当于一种有权算法。在 3.2 节的比较中,CNM 和 GA-SC 采用常见的无权形式,即仅根据拓扑结构进行分区。本节讨论 CNM 和 GA-SC 赋权计算的结果。

CNM 和 GA-SC 赋权计算,可采用管道流量、直径、能量损失等作为边权,也可采用节点需水量等作为点权^[11]. 本节分别以流量 q 和 $1/q$ 为边权的赋权形式对 5 个案例分区. 具体计算方式为将第 1.2 和 1.3 节中邻接矩阵 A 分别改写为以 q 或 $1/q$ 的赋权形式,即

$$A_{vw} = \begin{cases} q_{vw} \text{ 或 } 1/q_{vw}, & \text{节点 } v \text{ 和节点 } w \text{ 相连;} \\ 0, & \text{其他.} \end{cases} \quad (22)$$

其他步骤与无权形式相同. 赋权后得到的评价指标如表 3 第 5,6,8,9 列所示.

3.3.1 联络管流量

通过对 GA-SC 赋权选择流量较大或较小的管道作为联络管. 例如,由表 3 中 C Town 案例可知,对 GA-SC 赋 $1/q$ 权,联络管流量较大,平均为 91.908 L/s; 赋 q 权,联络管流量较小,平均为 32.612 L/s; 无权情况下,联络管流量处于两者之间,平均为 56.993 L/s. 图 4 以联络管流量平均值 (Q_{con}) 与管网中管道流量最大值 (Q_{max}) 之比为纵坐标作图,可以发现取不同案例不同分区数时皆可体现此规律. 其原因在于,GA-SC 的原理使用权重直接控制不同社区间连接的选择,这与寻求流量较大或较小的管道作为联络管的需求吻合. 而 CNM 没有此明显规律.

3.3.2 联络管流量波动性

管道流量波动性通常与管道流量值存在一定的

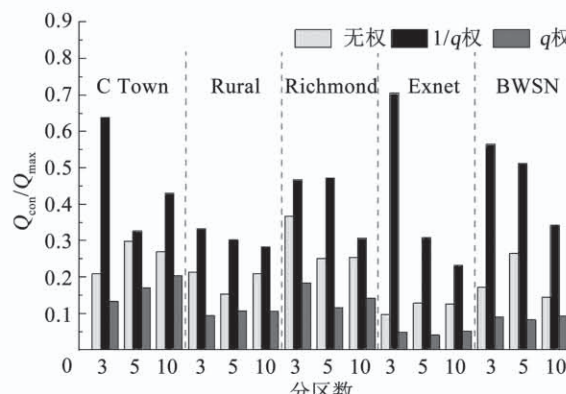


图 4 GA-SC 赋权对联络管选择的影响

Fig. 4 Influence of GA-SC with weights on the selection of feed lines

线性关系. 例如,图 5 为 Rural 案例中各管道流量与流量波动性的散点图. 可以看出,一般管道流量越大,管道流量波动性越大. 对 GA-SC 赋 q 权获得的各联络管流量及其波动性多数较小,此两个评价指标的频率分布曲线波峰均最靠前; 赋 $1/q$ 权获得的各联络管流量及其波动性多数较大,两个指标的频率分布曲线波峰均最靠后; 无权的频率分布曲线的波峰处于 $1/q$ 权和 q 权的波峰之间. 图中虚线位置表示各赋权形式联络管流量及波动性均值. 表 3 中 Exnet 和 BWSN 的联络管流量波动性平均值也能够反映出此特点,而 C Town 和 Richmond 略有出入是由于此两案例树状特性较高,联络管数很少,平均值受单个管道影响较大. 可见,在使用 GA-SC 以流量为参数的赋权形式选择联络管时,也可以较好地体现所选联络管的流量波动特性. 而 CNM 没有此明显规律.

3.3.3 分区所需信息

比较不同方法不同赋权形式所需的信息,如表 4 所示. 可以看出,无权形式的 CNM 和 GA-SC 仅需拓扑结构信息就能够进行分区,需获取的数据信息最少. 由 3.2 节的分析可知,对区域供水特征分明的 C Town 案例,使用无权形式即能达到良好的分区效果. 由图 6(a)、(b) 赋权计算结果可知,根据管道流量选择联络管位置还会在一定程度上破坏区域特性.

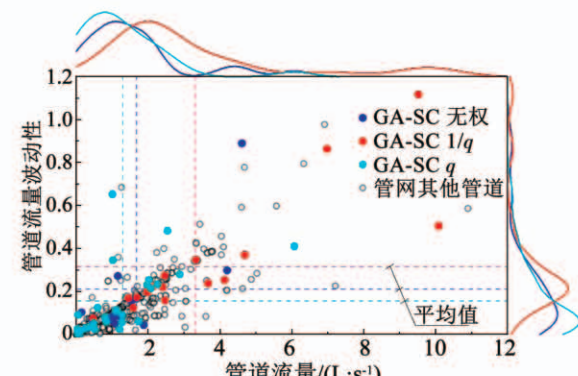


图 5 Rural 案例中管道流量与流量波动性

Fig. 5 Flow and flow fluctuation of feed lines in Rural

表 4 分区所需信息比较

Tab. 4 Comparison of information required for partitioning

分区所需信息	DFS-PCC	CNM		GA-SC	
		无权	以流量参数为边权	无权	以流量参数为边权
拓扑结构	是	是	是	是	是
管道流量	否	否	是	否	是
节点水头	是	否	否	否	否
水流流向	是	否	否	否	否
水力模拟	延时模拟	否	静态模拟	否	静态模拟

对环状特性较高的 Rural 案例,拓扑结构不能反映出更多信息。鉴于 GA-SC 良好的使用灵活性,若模型质量较高,可使用此方法赋权分区。如

图 6(c)、(d)所示,由于 Rural 案例没有控制元件且全网连接紧密,采用赋权分区的形式不会大幅破坏管网的区域特性。

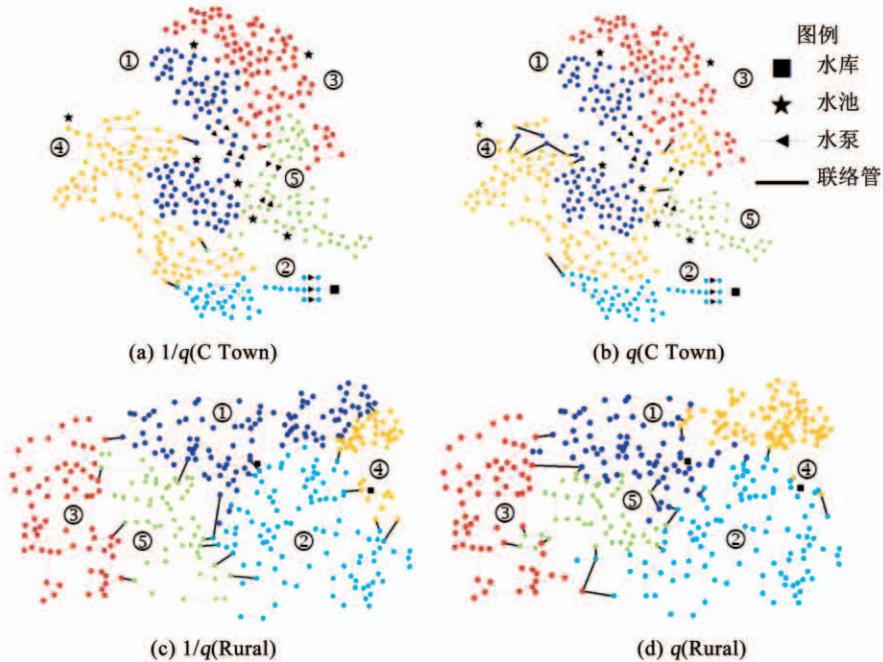


图 6 GA-SC 的赋权分区结果

Fig. 6 Weighted partition results of GA-SC

使用 DFS-PCC 需获取的信息量最多,这表示 DFS-PCC 能够利用的管网信息更多,但也意味着此方法受管网固有属性影响更强。对于区域供水特征不明显的环状管网,DFS-PCC 可能导致强连通分区节点数过少或各强连通分区的空间分布不均,最终导致分区结果不理想。

3.4 分区数的确定

在上述比较中,分区数是人为指定的。但是,CNM、GA-SC 两方法是可以自动确定分区数的,DFS-PCC 方法也可以辅助确定分区数。选择 DFS-PCC 以及无权形式的 CNM、GA-SC 对不同案例确定分区数,结果如表 5 所示。

表 5 分区数的自动确定

Tab. 5 Automatic determination of partition numbers

管网案例	DFS-PCC	CNM	GA-SC
Richmond	2	2	8
C Town	8	6	7
Rural	7	6	4
Exnet	5	21	5
BWSN	3	3	3

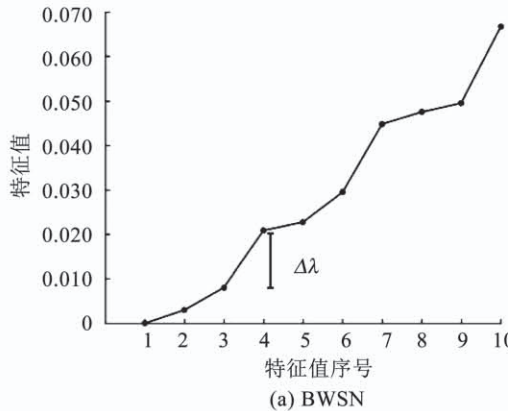
1) DFS-PCC 可通过获得的极大强连通子图作为确定分区数的参考。在 1.1 节步骤 1) 中确定出极大强连通子图数量后,最多可划分的区域数量也随

即确定。对类似于 Rural 的案例,其水池数和控制元件较少,可按照节点数从多到少的顺序并兼顾空间分布的均匀性,选择适宜数量的极大强连通子图作为强连通分区;对类似于 C Town 的案例,存在较多具有规律性进出水特征的水池,每个水池各属于一个极大强连通子图,可选取位置分布适宜且具有水池的子图作为强连通分区。此方法可通过人为干预选择分区数和强连通分区所在位置,选择的数量和位置不同,会得到不同的分区结果。本节中为统一此方法对各案例确定分区数的方式,选择节点数大于 2 的所有极大强连通子图数量作为分区数,得到表 5 中的结果。

2) CNM 通过模块度增量控制迭代终止条件,从而确定分区数。在 1.2 节步骤 3),当模块度增量 $\Delta M_{ij} \leq 0$ 时停止迭代,此时模块度达到最大值,凝聚得到的社区数即为分区数。此方法不需人为干预,获得的分区数唯一且明确。

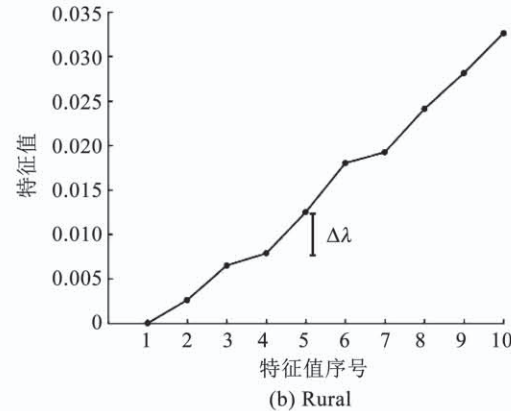
3) GA-SC 通过本征间隙^[29] (Eigengap) 确定分区数。在 1.3 节步骤 3),将矩阵 L_{sym} 的特征值从小到大排列为 $\lambda_1 \leq \lambda_2 \leq \dots \leq \lambda_n$ 的形式。本征间隙是指相邻两个特征值之间的差值。根据矩阵扰动理论,若第 k 个和第 $k+1$ 个特征值之间的差值 $\Delta \lambda$ 越大,选取 k 个特征向量所构成的特征向量空间就越稳定^[19]。找出较小的 k 个特征值,若此 k 个特征值较

为接近, 而第 $k+1$ 个特征值相对较大, 则将 k 确定为分区数^[29]. 此方法识别分区数的效果与管网固有特征有关. 例如, 对区域特征较明显的 BWSN 案例,



(a) BWSN

如图 7(a)所示, 易得出分区数为 3. 而 Rural 案例无明显区域特征, 如图 7(b)所示, 各间隙之间差异不大.



(b) Rural

图 7 GA-SC 分区数的确定

Fig. 7 Determination of partition numbers based on GA-SC

如表 5 所示, 对区域特征较明显的 BWSN 和 C Town 案例, 3 种方法确定的分区数较为接近; 而对区域特征不明显的其他案例, 3 种方法确定的分区数差异较大. 实际应用时, 应根据所需的区域规模做进一步考虑.

4 结 论

1) DFS-PCC 从能量的角度进行分区. 此方法在区域供水特征明显、树状特性较高、控制元件数较多的案例上能得到较好效果, 且易于选择控制元件所在管道作为联络管; 但对于区域供水特征不明显、环状特性较高、控制元件数较少的案例, 会造成联络管数量过多, 经济性下降. 此方法较适用于设计合理、已有潜在分区结构的管网. 使用此方法可得到分区数的选取范围.

2) CNM 和 GA-SC 从拓扑结构的角度进行分区. 两方法可根据收集的信息和管网特征灵活选用无权或赋权形式, 对分区所需信息要求较少. CNM 所得结果中联络管数量较少, 对于一些区域特性明显、树状特性较高的案例分区效果很好. 但对于区域特性不明显、环状特性较高的案例, 可能导致区域规模严重不均. 此方法时间复杂度较低, 适宜快速产生大型管网分区方案. 使用此方法可自动确定分区数.

3) GA-SC 在连接特性和环状特性的 5 个案例中都能得到较高的模块度、较少的联络管数量, 总体适用效果良好. 此方法区域节点数均衡性最佳, 较适用于以区块化管理为目的的分区. 对 GA-SC 赋权有助于对区域供水特征不明显的案例进行联络管的选择. 使用 $1/q$ 权的赋权形式分区, 可选择流量和流量波动性相对较大的管道作为联络管, 以便为流

量计布设提供参考. 当区域特征明显时, 使用此方法易于确定分区数.

分区时, 应结合管网特征合理选择上述方法. 实际工程中, 由于受到多重条件制约, 分区方案的制定更加复杂. 例如, 如何合理利用已有检测设备、是否对分区进行实际物理分割、分割后如何保障供水安全, 都值得深入探讨. 此外, 从不同角度制定的多个评价指标相互制约, 一般不能在同一分区方案中达到最佳. 因而, 工程应用单位应根据分区目的和具体需求选择合适的评价指标并对其进行优先级排序, 结合管网属性选择适宜的分区方法、赋权形式和分区数量, 以做出合理决策.

参 考 文 献

- [1] 刘锁祥, 赵顺萍, 曹楠, 等. 供水管网漏损控制研究和实践 [J]. 中国给水排水, 2015, 31(10): 24
LIU Suoxiang, ZHAO Shunping, CAO Nan, et al. Research and practice of water loss control of water distribution network [J]. China Water & Wastewater, 2015, 31(10): 24
- [2] 李斌, 蒋浩, 聂锦旭, 等. 基于节点能量冗余差的给水管网 DMA 分区方法研究 [J]. 给水排水, 2017, 43(3): 120
LI Bin, JIANG Hao, NIE Jinxu, et al. Study on automated creation of DMA boundaries of water supply networks based on the difference of energy redundancy of nodes [J]. Water & Wastewater Engineering, 2017, 43(3): 120. DOI: 10.3969/j.issn.1002-8471.2017.03.025
- [3] TZATCHKOV V G, ALCOCER-YAMANAKA V H, ORTÍZ V B. Graph theory based algorithms for water distribution network sectorization projects [C]//Proceedings of Eighth Annual Water Distribution Systems Analysis Symposium. Cincinnati: American Society of Civil Engineers, 2006: 1. DOI: 10.1061/40941(247)172
- [4] PERELMAN L, OSTFELD A. Topological clustering for water distribution systems analysis [J]. Environmental Modelling &

- Software, 2011, 26(7): 969. DOI:10.1016/j.envsoft.2011.01.006
- [5] DIAO Kegong, ZHOU Yuwen, RAUCH W. Automated creation of district metered area boundaries in water distribution systems [J]. Journal of Water Resources Planning and Management, 2013, 139(2): 184. DOI:10.1061/(ASCE)WR.1943-5452.0000247
- [6] 王彤, 冯雪峰, 赵明, 等. 基于快速网络算法的供水管网区块化研究[J]. 中国给水排水, 2018, 34(5): 37
- WANG Tong, FENG Xuefeng, ZHAO Ming, et al. Water supply network blocks based on a fast algorithm for detecting community structure in networks [J]. China Water & Wastewater, 2018, 34(5): 37
- [7] 刘俊, 周鹏. 谱聚类在给水管网分区优化中的应用[J]. 土木建筑与环境工程, 2016, 38(6): 142
- LIU Jun, ZHOU Peng. Spectral clustering for optimal design of district metered areas in water distribution systems [J]. Journal of Civil Architectural and Environmental Engineering, 2016, 38(6): 142. DOI:10.11835/j.issn.1674-4764.2016.06.019
- [8] NARDO A D, GIUDICIANI C, GRECO R, et al. Applications of graph spectral techniques to water distribution network management [J]. Water, 2018, 10(1): 45. DOI: 10.3390/w10010045
- [9] NARDO A D. A heuristic design support methodology based on graph theory for district metering of water supply networks [J]. Engineering Optimization, 2011, 43(2): 193. DOI: 10.1080/03052151003789858
- [10] NARDO A D, NATALE M D, SANTONASTASO G F, et al. Graph partitioning for automatic sectorization of a water distribution system [C]//Proceedings of 11th International Conference on Computing and Control for Water Industry. Exeter: [s. n.], 2011: 841
- [11] PERELMAN L S, ALLEN M, PREIS A, et al. Automated sub-zoning of water distribution systems [J]. Environmental Modelling & Software, 2015, 65: 1. DOI: 10.1016/j.envsoft.2014.11.02
- [12] LIU Haixing, ZHAO Mengke, ZHANG Chi, et al. Comparing topological partitioning methods for district metered areas in the water distribution network [J]. Water, 2018, 10(4): 368. DOI: 10.3390/w10040368
- [13] 张正培. 基于复杂网络理论的城市供水管网的建模与分区分层 [D]. 上海: 上海交通大学, 2014
- ZHANG Zhengpei. Modeling, partitioning and layering of urban water supply network based on complex network theory [D]. Shanghai: Shanghai Jiao Tong University, 2014
- [14] TARJAN R. Depth-first search and linear graph algorithms [C]// Proceedings of 12th Annual Symposium on Switching and Automata Theory. East Lansing: IEEE, 1971. DOI:10.1109/SWAT.1971.10
- [15] DIJKSTRA E W. A note on two problems in connexion with graphs [J]. Numerische Mathematik, 1959, 1(1): 269. DOI:10.1007/BF01386390
- [16] NEWMAN M E J, GIRVAN M. Finding and evaluating community structure in networks [J]. Physical Review E, 2004, 69:026113. DOI:10.1103/PhysRevE.69.026113
- [17] CLAUSET A, NEWMAN M E J, MOORE C. Finding community structure in very large networks [J]. Physical Review E, 2004, 70: 066111. DOI:10.1103/PhysRevE.70.066111
- [18] 孙玺菁, 司守奎. 复杂网络算法与应用 [M]. 北京: 国防工业出版社, 2015: 22
- SUN Xijing, SI Shoukui. Complex network algorithms and applications [M]. Beijing: National Defense Industry Press, 2015: 22
- [19] 赵金利, 张群华, 余贻鑫, 等. 输电网网架结构的谱聚类分析算法 [J]. 电力系统及其自动化学报, 2009, 21(4): 10
- ZHAO Jinli, ZHANG Qunhua, YU Yixin, et al. Spectral clustering approach for structure analysis of transmission networks [J]. Proceedings of the CSU-EPSA, 2009, 21(4): 10. DOI:10.3969/j.issn.1003-8930.2009.04.002
- [20] KUNCHEVA L I, HADJITODOROV S T. Using diversity in cluster ensembles [C]//Proceedings of 2004 IEEE International Conference on Systems, Man and Cybernetics. The Hague: IEEE, 2004: 1216. DOI:10.1109/ICSMC.2004.1399790
- [21] YAZDANI A, JEFFREY P. Applying network theory to quantify the redundancy and structural robustness of water distribution systems [J]. Journal of Water Resources Planning and Management, 2012, 138(2): 155. DOI: 10.1061/(ASCE)WR.1943-5452.0000159
- [22] 谭跃进, 吴俊. 网络结构熵及其在非标度网络中的应用 [J]. 系统工程理论与实践, 2004, 24(6): 1
- TAN Yuejin, WU Jun. Network structure entropy and its application to scale-free networks [J]. Systems Engineering: Theory & Practice, 2004, 24(6): 1. DOI:10.3321/j.issn:1000-6788.2004.06.001
- [23] VAN ZYL J E, SAVIC D A, WALTERS G A. Operational optimization of water distribution systems using a hybrid genetic algorithm [J]. Journal of Water Resources Planning and Management, 2004, 130(2): 160. DOI:10.1061/(ASCE)0733-9496(2004)130:2(160)
- [24] OSTFELD A, SALOMONS E, ORMSBEE L, et al. Battle of the water calibration networks [J]. Journal of Water Resources Planning and Management, 2012, 138(5): 523. DOI:10.1061/(ASCE)WR.1943-5452.0000191
- [25] MARCHI A, DANDY G, WILKINS A, et al. Methodology for comparing evolutionary algorithms for optimization of water distribution systems [J]. Journal of Water Resources Planning and Management, 2014, 140(1): 22. DOI:10.1061/(ASCE)WR.1943-5452.0000321
- [26] FARMANI R, SAVIC D A, WALTERS G A. Evolutionary multi-objective optimization in water distribution network design [J]. Engineering Optimization, 2004, 37(2): 167. DOI: 10.1080/03052150512331303436
- [27] OSTFELD A, UBER J G, SALOMONS E, et al. The battle of the water sensor networks (BWSN): A design challenge for engineers and algorithms [J]. Journal of Water Resources Planning and Management, 2008, 134(6): 556. DOI:10.1061/(asce)0733-9496(2008)134:6(556)
- [28] 高琰, 谷士文, 唐琎, 等. 机器学习中谱聚类方法的研究 [J]. 计算机科学, 2007, 34(2): 201
- GAO Yan, GU Shiwen, TANG Jin, et al. Research on spectral clustering in machine learning [J]. Computer Science, 2007, 34(2): 201. DOI:10.3969/j.issn.1002-137X.2007.02.051
- [29] VONLUXBURG U. A tutorial on spectral clustering [J]. Statistics and Computing, 2007, 17(4): 395. DOI: 10.1007/s11222-007-9033-z